

Fe₂SiO₄-TiO₂系酸化物の平衡状態図

雀部 実*・山下 智司*・宇津野 伸二*²・館 充*³

Phase Diagram of Fe₂SiO₄-TiO₂ System

Minoru SASABE, Satoshi YAMASHITA, Shinji UTSUNO and Mitsuru TATE

Synopsis : In order to discuss Tatara smelting process, a phase diagram of quasi binary system of fayalite-titania is studied by using of differential thermal analysis procedure (DTA)

It is revealed that the system has eutectic and peritectic points which are located in area of comparatively low TiO₂ content and comparatively low temperature

Key words: phase diagram, fayalite, titania, silica, Tatara smelting

1. はじめに

日本の独自の技術であった「たたら製鉄法」の技術解明の努力は、古くから今日まで続いている。その解明方法の一つに、製鉄炉遺跡周辺に遺されたスラグの組成から炉内反応を推定する方法がある。そのためにはスラグ組成に関する平衡状態図が必要とされている。

たたら製鉄は出発原料を砂鉄とすることに特徴があり、したがってスラグはTiO₂を含有するという特徴を持つ。大沢¹⁾は日本各地から出土した砂鉄製錬スラグを分析して整理しているが、その分析値をFeO-SiO₂-TiO₂ 3成分系ダイアグラムの上にプロットしたものがFig. 1である。出土スラグではこの3成分が全組成の80%以上を占めているので、Fig. 1を作成するに当たっては3成分以外を無視して $\text{FeO} + \text{SiO}_2 + \text{TiO}_2 = 100\%$ となるようにデータを加工した。また、FeO濃度は分析値のT FeがすべてFeO由来であるとして決めた。Fig. 1は、たたら製鉄のスラグの成分は Fe₂SiO₄とFe₂TiO₄とを結んだ線と、Fe₂SiO₄とSi₂TiO₆とを結んだ線とに囲まれた領域に主として分散していることを示している。ただし、Si₂TiO₆という化合物が存在するという報告は見当たらず、ここでは質量比をモル比に換算すると見かけ上 Si₂TiO₆という化合物組成に相当する位置にあることを示すもので、このような化合物が存在するという意味するものではない。したがって少なくとも酸化鉄-チタニア-シリカ3成分系平衡状態図が必要とされるがこの系に関する状態図は、桂による解説²⁾および GhitaとBell^{3,4)}による液相面の研究が見られる程度である。そこで本研究は、前記2本の線の中間組成となるファヤライト(Fe₂SiO₄)とルチル(TiO₂)を結んだ組成上の垂直断面状

態図を熱分析法で求めることにした。熱分析を行うに当たっては、雰囲気の酸素分圧を鉄とウスタイトとの平衡酸素分圧付近に保持するよう配慮した。

2. 実験方法

2・1 試料

ファヤライトは試薬 FeC₂O₄ 2H₂Oと試薬 SiO₂から合成した。合成方法は次のとおりである。FeC₂O₄ 2H₂O/SiO₂がモル比で2となるように配合し、これをアルミナ製乳鉢中でよく混合してから市販の純鉄るつぼに入れ、1300°CのN₂雰囲気中で溶融した。溶融後1 h保持した後電源を切り、約2 hかけて室温まで冷却して得たものを試料とした。室温まで冷却した試料をX線回折分析（以下XRD分析）したところ、非常に強いFe₂SiO₄の回折線とごく弱いFeと

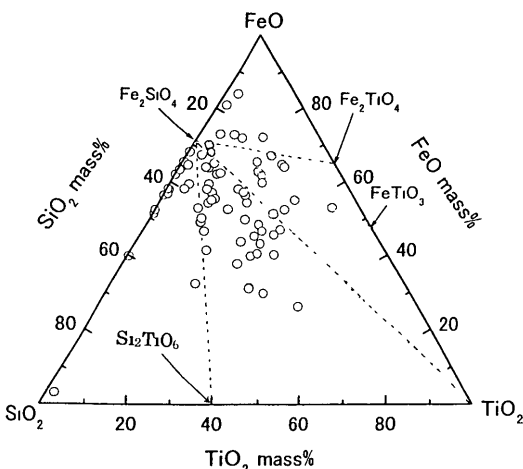


Fig. 1. Composition of remains slag of Tatara smelting

平成16年3月15日受付 平成16年7月22日受理 (Received on Mar 15, 2004, Accepted on July 22, 2004)

* 千葉工業大学 (Chiba Institute of Technology, 2-17-1 Narashino Tsudanuma Chiba 275-0016)

* 2 千葉工業大学大学院生 (現・ナカホーテック (株)) (Graduate Student of Chiba Institute of Technology, now Nakaboh Tec Co., Ltd.)

* 3 東京大学名譽教授 (Emeritus Professor, The University of Tokyo)

FeOの回折線が見られた。所定量に秤量したこの試料と試薬 TiO_2 をアルミナ乳鉢中で混合して、熱分析用試料に供した。

熱分析後の試料は化学分析とXRD分析に供した。化学分析は、T FeとFeOには酸化還元滴定法を、 SiO_2 には重量法を、 TiO_2 には吸光光度法を適用した。熱分析とは別に、試料を白金箔で軽く包み、CO/CO₂が所定比である雰囲気内の所定温度に1 h保持した後、白金箔とともに水中に投入して急冷した。急冷試料は2分割し、その一方を相同定のためにXRD分析に、もう一方を化学分析に供した。急冷試料の組成と急冷開始温度は、熱分析結果を参考にして決めた。急冷開始温度での保持時間を決めるため25 mass% TiO_2 試料を白金箔に包んで、1350°Cの温度に1 h, 6 h, 12 h, 72 hのそれぞれの時間保持した後急冷しXRD分析を行った。その結果保持時間による差が見られないで、保持時間は1 hで十分であると判断した。

2・2 熱分析

熱分析は示差熱分析（以下DTA）法によった。その装置の概略をFig. 2に示す。発熱体はシリコンカーバイド、反応管はムライト製である。使用した鉄るつぼは鋼製の炭酸ガス用ガスカートリッジを加工したものである。すなわち肉厚1 mmのガスカートリッジの上部を切断して、内径17 mm、深さ19 mmのカップ状の入れ物を得て、これを希塩酸で洗浄して使用した。るつぼ材の不純物含有量はC: 0.1%以下、Mn: 0.45%以下、P: 0.03%以下、S: 0.03%以下、である。

るつぼは2個を同時に使用し、その1つに試料3.5 gを挿入した。もう1つにはフリーボードを約2 mm残すようにして $\alpha-Al_2O_3$ の粉体を充填し、示差熱分析用参照物質に供した。この2つのるつぼは縦位置に置いた内径52 mm、長さ1000 mmのムライト管の中央に並べて置いた。ムライト管の上下はガスの出入り口を持つシリコンゴム栓で閉じた。熱分析試料と参照物質粉体のそれぞれに、外径6 mm、肉厚1 mmのアルミナ製熱電対保護管に入れられた直径0.5 mmのR-type熱電対を挿入した。熱電対保護管2本の間隔は保護管の間にアルミナ製スペーサーを入れて測定中の位置が変動しないようにした。熱電対は計量研究所によって検定済みとなっている熱電対により較正して使用した。標準資料を用いることによるDTA法の温度精度の確認を行っていないが、空るつぼ内と参照物質間の温度差を確認したところ $\pm 0.5^{\circ}C$ 以内であったので、温度誤差は $\pm 1^{\circ}C$ 以内にあると見積もった。

2組の熱電対から出ているそれぞれのPt線は互いに結線して1本の線にまとめて測定器に接続した。2組の熱電対のそれぞれのPt-Rh線端子は別々にしたまま測定器に接続した。試料に挿入した熱電対のPt線端子とPt-Rh線端子間の起電力から試料温度を、2組の熱電対のPt-Rh線端子間の電位差で示差熱を検出した。

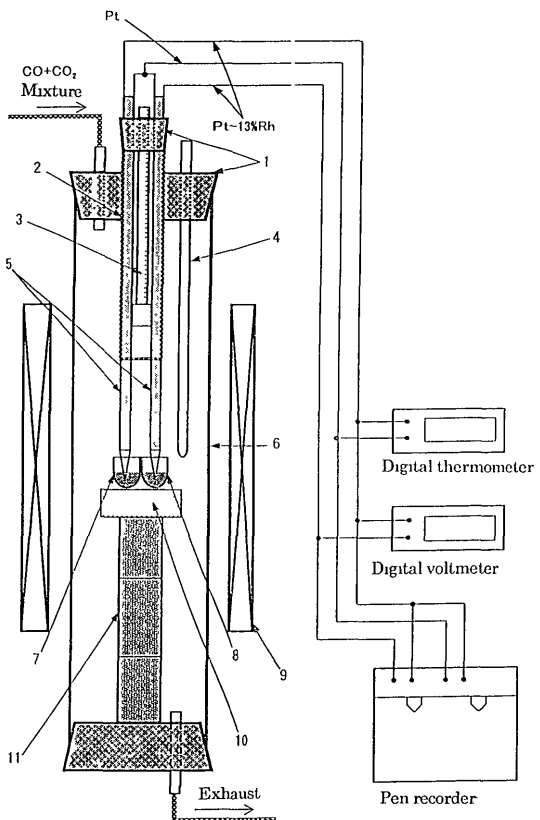


Fig. 2 Schematic illustration of differential thermal analysis apparatus: 1, silicone rubber stopper; 2, guide for thermocouple; 3, spacer; 4, thermocouple for regulator; 5, insulator for thermocouple; 6, mullite tube; 7, steel crucible containing sample; 8, steel crucible containing Al_2O_3 powder; 9, heating element; 10, support table; 11, support column

DTA開始前に試料を所定雰囲気中で1350°Cまで昇温し、この温度に到達後1 h保持してから降温しながら測定を行った。降温を続け800°Cに達した後直ちに昇温方向に切り替え、再び測定を続けた。昇温測定で1350°Cに達した後、その温度に1 h保持してから再び降温方向での測定を800°Cまで続けた。すなわち、1つの試料で降温→昇温→降温を連続して行った。その温度変化速度は昇温測定と降温測定のどちらも $3^{\circ}C/min$ とした。

測定中の雰囲気はCO/CO₂=6.6のCO-CO₂混合ガスとした。この比は1200°CにおいてFeとFeOが平衡する酸素分圧を与える値であるが、昇温あるいは降温中もこの比を一定に保った。混合ガスの流量は300 mL/minとした。白金箔に試料を包んで急冷を行う場合の雰囲気も熱分析と同じものとした。

3. 実験結果

DTA結果の一例として Fe_2SiO_4 に28.5 mass%の TiO_2 を添加した試料の冷却過程での変化をFig. 3に示した。発熱ピークあるいは吸熱ピークの立ち上がり部分に接線を引き、この接線と基線との交わる時間を見出し、この時間に

対応する試料温度を変態温度とした。DTAの結果をTable 1に整理した。Table 1は1つの試料を降温①→昇温→降温②の順で測定したときの結果を示しているが、空欄は変態点を明確に判読できなかったものである。また、変態温度は

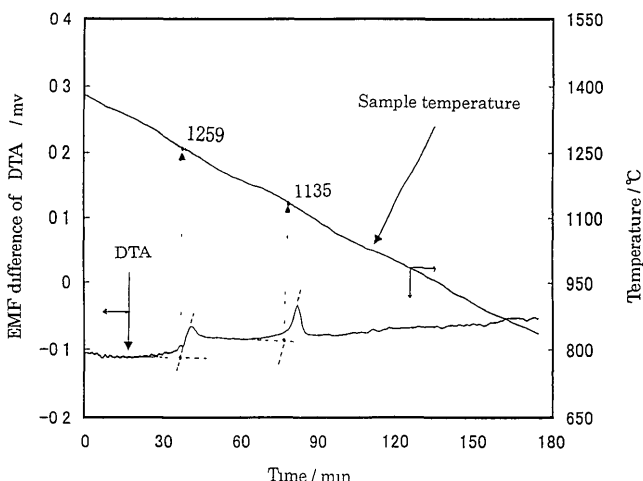


Fig. 3 An example of differential thermal analysis data in the case of 28.5 mass% TiO₂ under cooling process

昇温過程でも降温過程でも同じはずであるが、一部の試料で昇温過程と降温過程で異なるかのように観察されるものがあった。この場合、発熱あるいは吸熱のピークが小さく、ピークに接線を引いて基線との交点を求める場合の誤差と考える。この不明瞭部分を明瞭にするため試料を交換して再測定をしたところ、以前に観測できたピークを観測できない場合と以前観測できていなかったピークが現れる場合があった。そのため、一度でも観測できたピークはすべてTable 1に記載した。DTA後の試料のXRD分析結果をTable 2に、急冷試料のXRD分析の結果をTable 3に示した。表中の濃度は化学分析によって確認した値である。Fe²⁺はFeOにFe³⁺はFe₂O₃に換算して示した。

Table 1に示したDTAの結果を降温測定結果と昇温測定結果とに区別して温度-組成図中に記入し、プロット点を滑らかな曲線あるいは直線で結んで相境界を描いたものがFig. 4である。ただし境界線記入に際しては、昇温実験あるいは降温実験のどちらか一方でのみ見出すことのできた変態点を用いて引いた境界線は点線で示した。また、Fig. 4中に実線あるいは点線に乗っていないプロット点があるが、それはここに相境界が存在すると考えると、状態図と

Table 1 Results of the differential thermal analysis

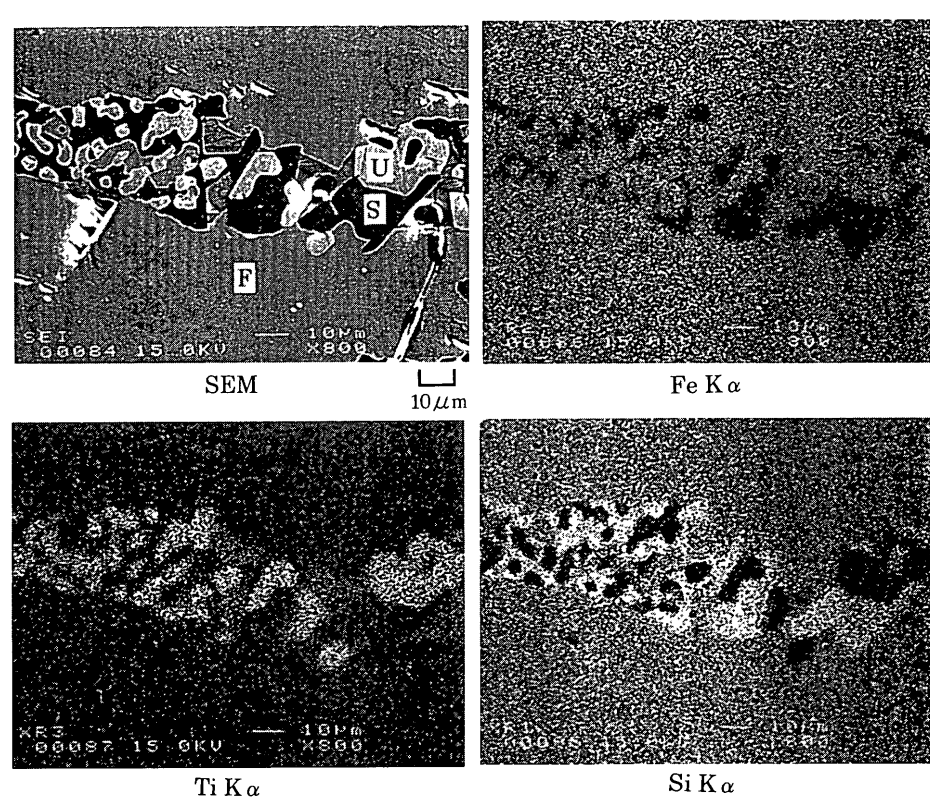
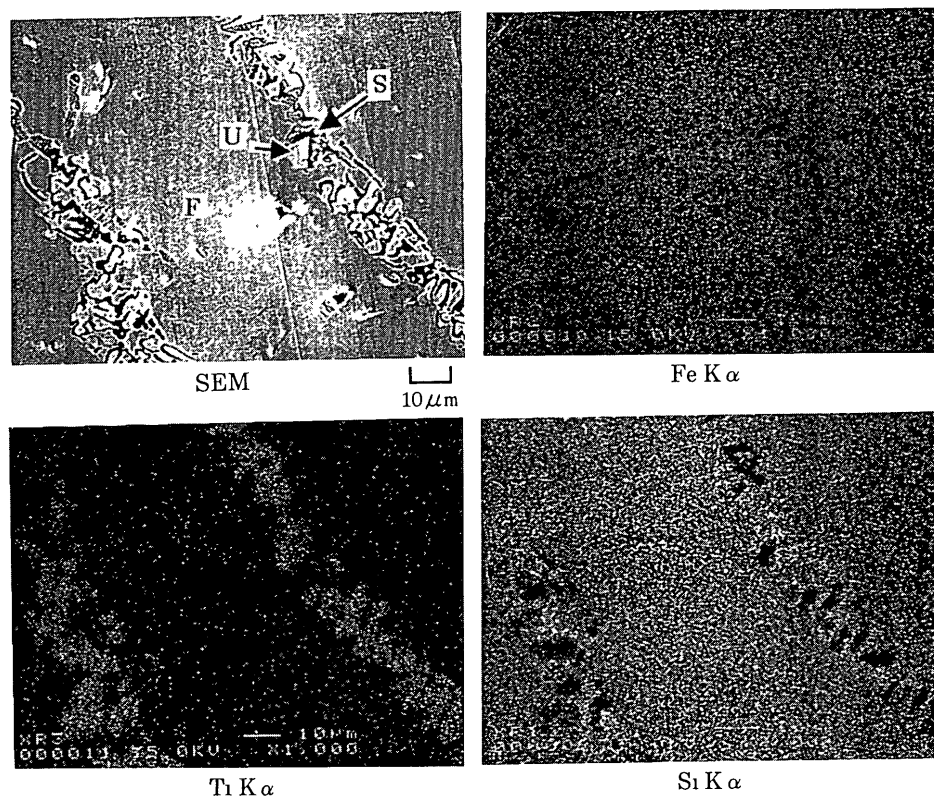
TiO ₂ (mass %)	Transformation temperature (°C)		
	Cooling down ①	Heating up	Cooling down ②
0	1213		1213
21	1192	1131	1203
52	1175	1135	1182
94			1152
101	1178	1134	
117	1186	1134	1194
138	1205	1143	1185
198	1220	1135	1188
232	1250	1135	1230
285	1259	1135	1256
338	1277	1135	1184
395	1273	1135	1267
483	1290	1138	1278
564	1293	1128	1300

Table 2 Identified phases of the sample after DTA by X-ray diffraction

Run No	Composition analyzed by chemical analysis (mass %)				Identified phase
	TiO ₂	SiO ₂	FeO	Fe ₂ O ₃	
1	0	29.4	63.9	6.6	Fe ₂ SiO ₄
2	21	28.7	69.1	tr	Fe ₂ SiO ₄ , Fe ₂ TiO ₄
3	52	27.8	65.6	1.2	Fe ₂ SiO ₄ , Fe ₂ TiO ₄
4	94	26.6	62.8	1.0	Fe ₂ SiO ₄ , Fe ₂ TiO ₄
5	117	25.9	62.3	tr	Fe ₂ TiO ₄ , Fe ₂ SiO ₄ , SiO ₂ , FeTiO ₃
6	138	25.3	60.8	tr	Fe ₂ TiO ₄ , Fe ₂ SiO ₄ , FeTiO ₃ , SiO ₂
7	198	23.5	54.9	1.6	Fe ₂ TiO ₄ , Fe ₂ SiO ₄ , FeTiO ₃ , SiO ₂
8	232	22.5	45.3	8.8	FeTiO ₃ , Fe ₂ TiO ₄ , Fe ₂ SiO ₄ , SiO ₂
9	285	21.0	43.5	6.8	FeTiO ₃ , Fe ₂ TiO ₄ , SiO ₂ , Fe ₂ SiO ₄
10	338	19.4	38.9	7.8	FeTiO ₃ , Fe ₂ TiO ₄ , SiO ₂ , Fe ₂ SiO ₄
11	395	17.7	37.1	5.5	FeTiO ₃ , Fe ₂ TiO ₄ , SiO ₂ , Fe ₂ SiO ₄ , FeTi ₂ O ₅
12	484	15.1	29.9	6.4	FeTiO ₃ , FeTi ₂ O ₅ , SiO ₂
13	564	12.8	25.3	5.4	FeTiO ₃ , FeTi ₂ O ₅ , SiO ₂

Table 3. Identified phases of the quenched sample by X-ray diffraction.

Run No	Composition analyzed by chemical analysis (mass %)				Quenching Temperature (°C)	Identified phase
	TiO ₂	SiO ₂	FeO	Fe ₂ O ₃		
21	2.3	27.7	68.6	1.9	1230	Fe ₂ SiO ₄ , Fe ₂ TiO ₄
22	2.5	26.9	70.3	0.5	1160	Fe ₂ SiO ₄ , Fe ₂ TiO ₄
23	12.5	24.7	63.9	1.5	1230	Fe ₂ TiO ₄ , Fe ₂ SiO ₄
24	12.8	24.7	60.9	1.3	1160	Fe ₂ TiO ₄ , Fe ₂ SiO ₄
25	23.6	21.0	50.8	5.7	1270	FeTiO ₃ , Fe ₂ TiO ₄ , SiO ₂ , Fe ₂ SiO ₄
26	24.9	21.8	55.6	1.3	1230	Fe ₂ TiO ₄ , SiO ₂ , FeTiO ₃ , Fe ₂ SiO ₄
27	26.0	21.9	51.9	1.1	1160	Fe ₂ TiO ₄ , SiO ₂ , FeTiO ₃ , Fe ₂ SiO ₄
28	37.6	17.2	42.1	3.6	1160	FeTiO ₃ , TiO ₂ , SiO ₂ , Fe ₂ TiO ₄
29	39.0	15.3	40.0	3.2	1230	FeTiO ₃ , Fe ₂ TiO ₄ , SiO ₂
30	40.4	16.6	39.2	2.2	1320	FeTi ₂ O ₅ , TiO ₂ , FeTiO ₃ , SiO ₂
31	57.4	12.3	25.7	3.6	1230	FeTi ₂ O ₅ , SiO ₂ , FeTiO ₃ , TiO ₂
32	59.1	9.2	28.9	1.9	1320	FeTi ₂ O ₅ , TiO ₂ , SiO ₂



40% TiO₂以上の急冷試料で TiO₂が検出されているのに、徐冷試料で検出されてないのは、(2)ないし(3)式で生成した TiO₂は非平衡相であり、鉄-チタン複合酸化物中に固溶されるはずのものと考える。徐冷試料では TiO₂相が検出されないのに、急冷試料では検出されたのは、変態にともなって生成した TiO₂が固溶するため必要な時間が不足したものと考える。非平衡相の TiO₂が出現する場合があるということは、TiO₂高濃度域ではルチルが存在できるものと考えた。

なお Fig. 4 中のウルボスピネルとイルメナイトの組成位置は、次のようにして決めた。まず、FeO-SiO₂-TiO₂ 3 元系状態図上の FeO-SiO₂ 軸上にある Fe₂SiO₄ の位置と頂点 TiO₂ を結ぶ直線を引く。次に着目している鉄-チタン系複合酸化物の組成位置を FeO-TiO₂ 軸上に求める。この求めた点から頂点 SiO₂ 向けて直線を引く。2 本の直線の交点から Fe₂SiO₄-TiO₂ 系での TiO₂ の濃度を決めた。

4. 結言

たら製鉄プロセスの物理化学的考察に供するためファ

ヤライト-チタニア系垂直断面状態図を示差熱分析法により作成した。その結果 9.5 mass% TiO₂, 1134°C の位置に共晶点が存在すること、および 10.5 mass% TiO₂, 1186°C の位置、39.5 mass% TiO₂, 1273°C 付近の位置、および 50.5 mass% TiO₂, 1290°C 付近の位置のそれぞれから TiO₂ 高濃度側に 3 本の包晶線が伸びていることを見出した。

本研究の実験は当時千葉工業大学工学部金属工学科学生であった一本智幸、中西正一、中村淳一、田中俊臣、根元勝幸、片山智彦、柴田直樹の諸君の卒業研究としての協力があった。また、状態図作成に当たっては東京工業大学大学院教授永田和宏博士から有益な助言を賜った。記して謝意を表する。

文 献

- 1) M Ohsawa *Tatara-Kenkyu*, **29** (1988), 327
- 2) 桂 敬・古代日本の鉄と社会、東京工業大学製鉄史研究会編、平凡社、東京、(1982), 223
- 3) I Ghita and H B Bell *Can Metall Q*, **21** (1982), 347
- 4) I Ghita and H B Bell *Can Metall Q*, **25** (1986), No 4, 45
- 5) Slag Atlas Verein Deutscher Eisenhuettenleute (ed.), Verlag Stahleisen M B H, Dusseldorf, (1981), 45